

KAWASAKI STEEL GIHO

Vol.12 (1980) No.1

---

ASME SA387

Properties of ASME SA387 Weld Metals for Pressure Vessels

(Shozaburo Nakano) (Koichi Yasuda) (Noboru  
Nishiyama) (Jun-ichiro Tsuboi) (Koki Sato)  
(Toshio Okada) (Noboru Sakamoto)

---

:

SA387

SR

Class2

SR

Si

Mn

Nb,V

Si,Mn,P

---

Synopsis :

Tensile strength of ASME SA387 submerged arc weld metals after stress relief heat treatment (SR) and thermal embrittlement by GE type step cooling are examined to obtain the knowledge on designing the chemical composition of weld metals. Tensile strengths at room temperature and elevated temperatures after SR in various

becomes longer when SR temperature is below Ac<sub>1</sub>. When SR temperature exceed Ac<sub>1</sub>, it is not generated at all. The ferrite band results from the growth of ferrite grain caused

by abnormal coarsening of carbide.

(c)JFE Steel Corporation, 2003



UDC 669.15'24'28:621.772  
 620.172/.178:621.791.042.2  
 621.791.753.5

## 圧力容器用ASME SA387銅溶接金属の特性

### Properties of ASME SA387 Weld Metals for Pressure Vessels

中野 昭三郎\*  
 Shozaburo Nakano

安田 功一\*\*  
 Koichi Yasuda

西山 昇\*  
 Noboru Nishiyama

坪井 潤一郎\*\*\*  
 Jun-ichiro Tsuboi

佐藤 功輝\*\*\*\*  
 Koteki Sato

岡田 敏男\*\*\*\*\*  
 Toshio Okada

坂本 昇\*\*\*\*\*  
 Noboru Sakamoto

#### Synopsis:

Tensile strength of ASME SA387 submerged arc weld metals after stress relief heat treatment (SR) and thermal embrittlement by GE type step cooling are examined to obtain the knowledge on designing the chemical composition of weld metals.

Tensile strengths at room temperature and elevated temperatures after SR in various conditions are correlated linearly with tempering parameter. Linear relationships also exist between tensile strengths at room temperature and elevated temperatures. Weld metals should be designed to satisfy the following conditions.

間の応力除去焼鈍処理(以下、SRと記す)が必要になってきている。さらに、高応力設計が可能なSA387 Class 2も各所で採用されるようになり、苛酷なSRとあいまって、従来の溶接材料では規

## 2. 供試材料および実験方法

Table 1に、試験に供した鋼板およびサブマー

用中の脆化についても、データの蓄積とともにそ  
ずれも母材とはほぼ同組成であり、これらと弱塩基

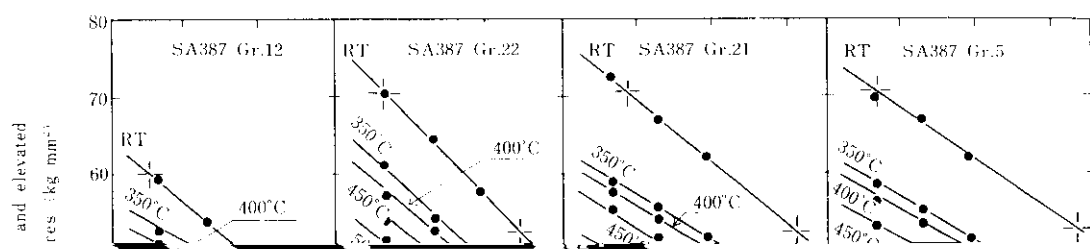
Total time: 233h

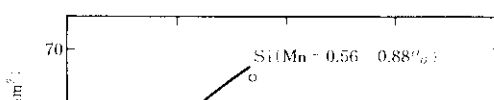
Cooling Rate  
(1) 15.6°C/h

80

°F

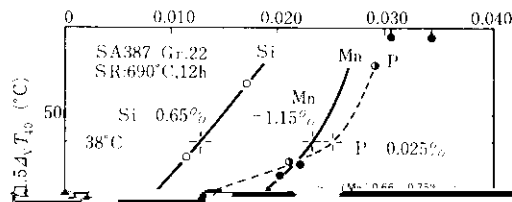
660°F	4	12	40h
690°F	4	12	40h





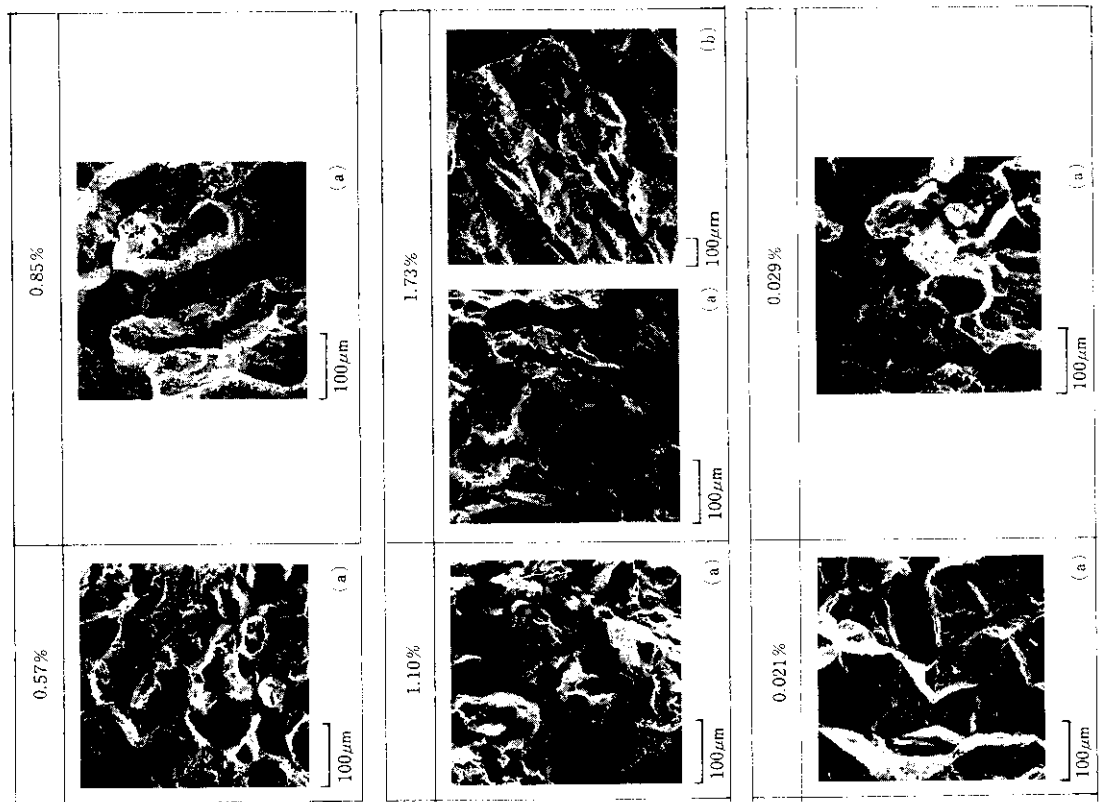
不純物元素および合金元素、組織、塑性変形など種々の因子があるが、とくに不純物元素および合金元素の影響について鋼板と溶接金属である。

P content (%) は、雨歴粗粒化焼正歴部ではSC時



感受性が異なることが破面形態のうえでも明らかである。

つぎに、本実験で得られた、SC後の靭性とSi, Mn, P含有量との関係をもとに、多層盛溶接金属のSC後の靭性におよぼすSi, Mn, Pなどの影響

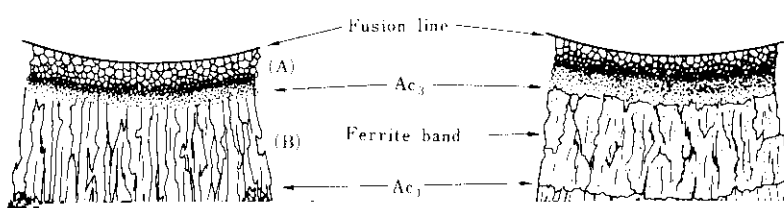


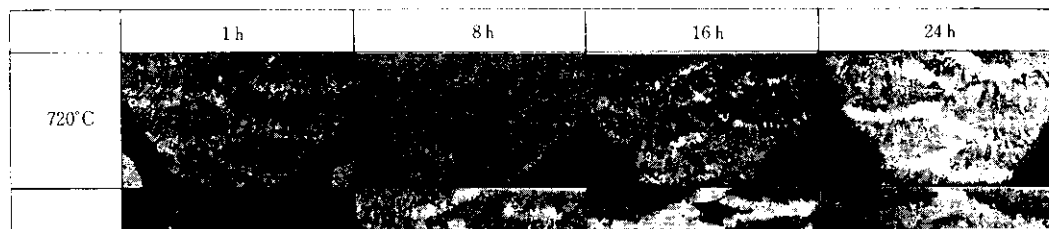
に関する統一的な見解はまだ得られていない。そ  
のうちでも、要因は、元素の活性度の順位(表3)、

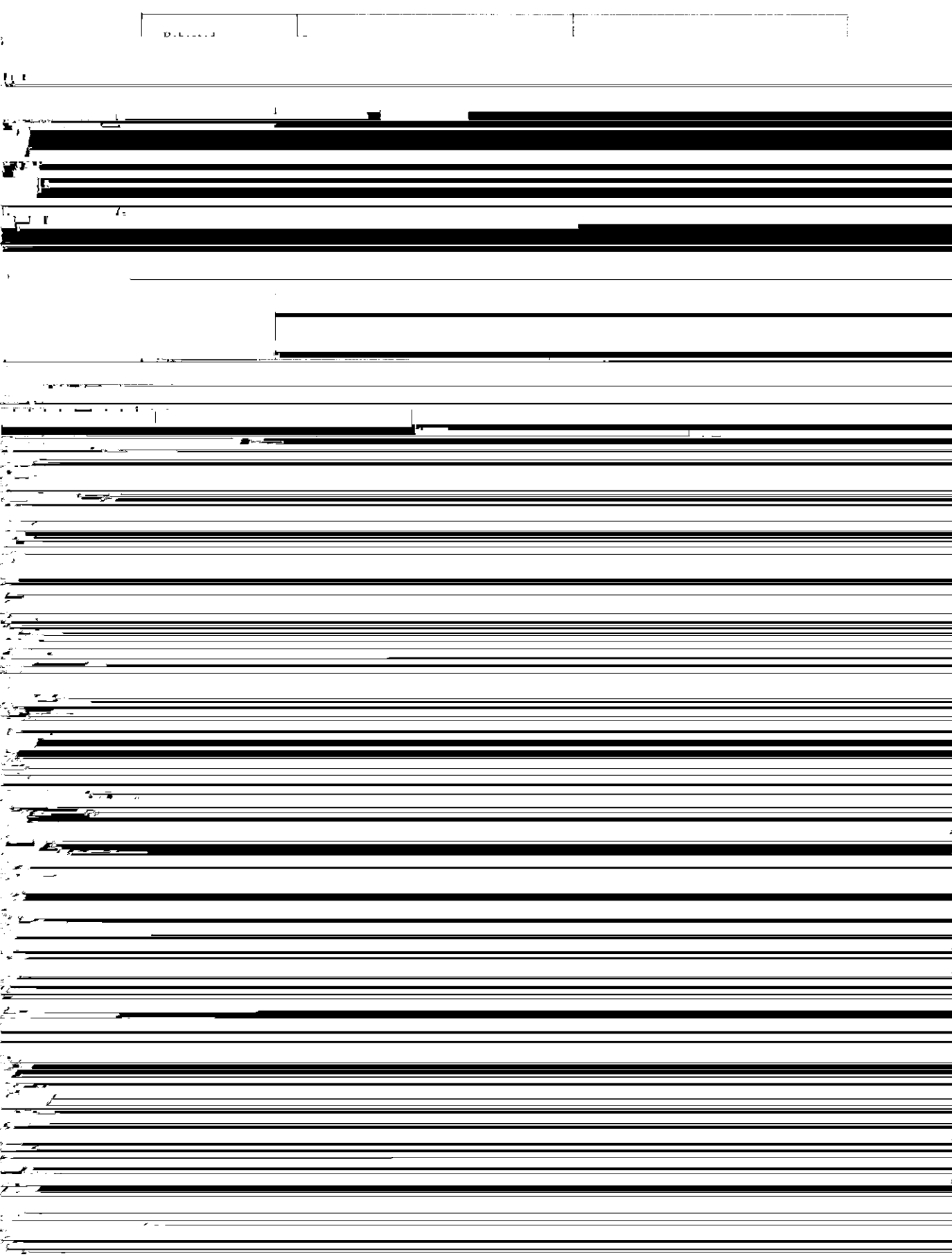
粗大化したフェライトが帶状に析出し、強度、靭

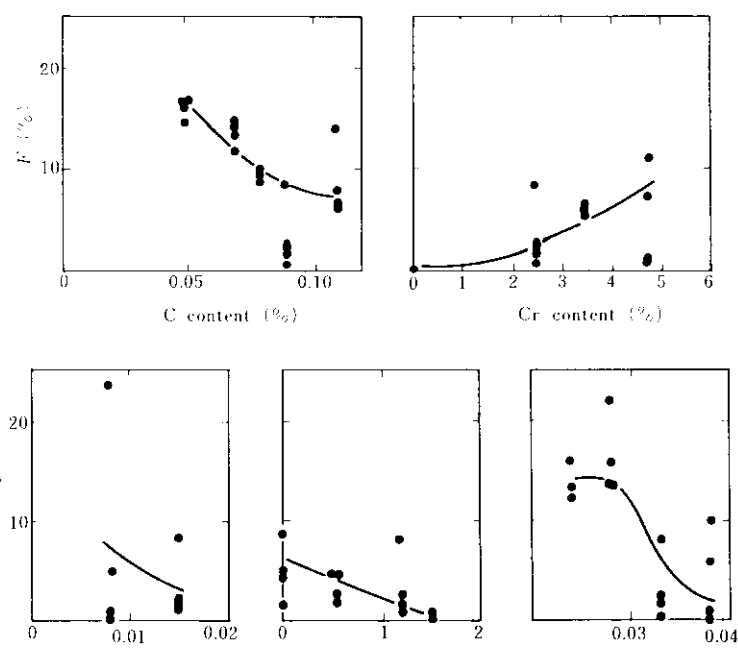
## 合金元素-炭化物との相互作用による不純物元素

は、二つの主な機械的性質、强度と靭性。









- 1) 官野：圧力技術，12（1974）3, 135
  - 2) 渡辺, 進藤, 村上: 日本製鋼所技報, No.38 (1979), 69
  - 3) R.J.Olsen et al.: SOCAL Technical Report T-205.01 (1973)
  - 4) R.Bruscato: Welding Journal, 49 (1970) 4, 148 S

6) D.Mclean : Grain Boundaries in Metals, (1957), [Oxford Univ. Press, London]

8) J.R.Relliok and C.J.McMahon,Jr. : Met. Trans., 5 (1974) 11, 2439.

10) 麻和、滑川：溶接冶金研究委員会資料 MW-84-65 (1965) MW-236-69 (1969)

11) 黒川他：日本金属学会誌 26 (1962) 4 228-232